

# 用于 $\alpha$ 和中子閃爍體的 ZnS(Ag) 的 制备、性能及測試方法

沈 經

本文从閃爍計數的要求出发,提出了研究 ZnS(Ag) 时应考慮的各项性能,建立了相应的測試方法,并叙述了这些性能与工艺条件的关系,指出用燒結溫度来控制所需的性能指标是有效的。

## 一、引 言

ZnS(Ag) 在带电重粒子(例如質子、氚核、 $\alpha$  粒子、輕核或裂变碎片等)或  $\beta$ ,  $\gamma$  輻射的激发下,产生的閃爍脉冲在幅度和波形上均有所不同<sup>[1]</sup>。利用这些不同通过線路中幅度和寬度的甄別可以在強  $\beta$ ,  $\gamma$  輻射場中測量重粒子。例如在研究光核反应时用来測定角分布<sup>[2]</sup>。在反應堆和加速器周围的強  $\gamma$  輻射場中作中子通量的測定和报警。在核爆炸沾染場或其它混合沾染場中的強  $\beta$ ,  $\gamma$  輻射本底下測量  $\alpha$  粒子<sup>[3]</sup>,以及用来測量  $\sigma$  能譜<sup>[4]</sup>和帶電重粒子的遏止率等<sup>[5]</sup>。

各国剂量仪器的型譜系列中大部分采用了 ZnS(Ag) 作为  $\alpha$  粒子、快中子和慢中子仪器的閃爍探头<sup>[3]</sup>。并且近来已被选为标准化的探头。这是因为 ZnS(Ag) 有許多优点。如光輸出大,气候条件方面稳定,价格比較低等等。用 ZnS(Ag) 制成的 Hornyak 型中子閃爍體的效率較高<sup>[3]</sup>。

## 二、閃爍計數的物理過程

用 ZnS(Ag) 作为发光材料,对其光致发光、电致发光、以致于場致发光已做了很多的研究。这里拟从电离輻射致发光以及 ZnS(Ag) 作为閃爍體出发,对它的制备、性能及測試方法作某些實驗探討。为此应首先考察一下閃爍計數的物理過程,从而确定我們的工作內容。

一般用閃爍法作甄別測量的仪器是这样的。在閃爍體后用一光电倍增管,其脉冲輸出由阴极跟随器送到放大器經放大后由甄別器将所需要的脉冲送至定标器記錄下来。其方块图見

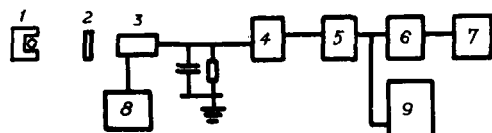


图 1 閃爍波形測試裝置

1—源; 2—閃爍體; 3— $\Phi\Theta Y$ ; 4—  
跟隨器; 5—放大器; 6—甄別器; 7—  
定标器; 8—高压; 9—示波器。

图 1. 这样对应于每个閃爍事件都经历了下述一系列过程而形成一个电压脉冲后送入甄別器。这些过程是:电离輻射在 ZnS(Ag) 中形成径迹孔道,其中的被激电子通过某种方式在发光中心处引起发光。这些光子将有一个衰落过程。接着在光电倍增管光阴极上形成光电子,以后是倍增过渡、光电倍增管阳极迴路过渡以及放大过渡。其中入射粒子的激发过程即孔道的形成过程,对于带电重

粒子和电子分別可由熟知的貝特 (Bethe) 关于重粒子和电子的遏止率公式計算而得。其時間都不超过  $10^{-11}$  秒。对于光电过程亦可由其作用几率算得,其時間不超过  $10^{-9}$  秒并有實驗証实。故两者对于整个過程來說,是瞬时的,其对应的过渡函数中不含  $p$  ( $\dot{=}d/dt$ )。

ZnS(Ag) 的电离輻射致发光衰落有两种形式<sup>[1]</sup>。一为指数式衰落,可用下式表之:

$$L = L_0 e^{-\alpha_1 t}, \quad (1)$$

另一为双曲式衰落,可用下式表之:

$$L = L_0(1 + a_1 t)^{-1}. \quad (2)$$

对于光电倍增管中倍增电子的飞行波形可以用下式近似表达<sup>[7]</sup>:

$$\eta(t) = \begin{cases} 0 & t > \frac{\pi}{a_2}, \\ \frac{1}{2} a_2 \sin a_2 t & t < \frac{\pi}{a_2}. \end{cases} \quad (3)$$

电路的过渡均由其 $RC$ 决定。于是对应于每次閃爍事件在放大器输出端将得到一个电压脉冲,其波形可写成如下映象的形式:

对于指数衰落

$$V(t) = -I \frac{a_1}{p + a_1} \frac{a_2^2 (1 - e^{-\frac{p}{a_2}})}{2(p^2 + a_2^2)} \frac{R a_3}{p + a_3} \frac{-K_0}{1 + \frac{p}{a_4} - \frac{a_5}{p}}, \quad (4)$$

对于双曲衰落

$$V(t) = -I \left[ -e^{\frac{p}{a_1}} E_i \left( -\frac{p}{a_1} \right) \right] \frac{a_2^2 (1 - e^{-\frac{p}{a_2}})}{2(p^2 + a_2^2)} \frac{R a_3}{p + a_3} \frac{-K_0}{1 + \frac{p}{a_4} - \frac{a_5}{p}}. \quad (5)$$

其中

$$I = \frac{dne}{dt} = p n \varepsilon = p E_i A C_{ip} T_p G C_{pe} \frac{f(v)}{hv} M e. \quad (6)$$

式中 $E_i$ 为入射粒子的能量; $A$ 为入射粒子的能量损失于ZnS(Ag)中的分数; $C_{ip}$ 为发光的能量轉換效率; $T_p$ 为閃爍体的透明度; $G$ 为閃爍体与光电倍增管光阴极之間的几何光学因子; $C_{pe}$ 为光电倍增管光阴极的光电轉換效率; $f(v)$ 为光电轉換的光譜特性; $h\nu$ 为ZnS(Ag)的发射光子的能量; $M$ 为光电倍增管的倍增系数; $e$ 为电子电荷; $R$ 为光电倍增管阳极的負載电阻; $K_0$ 为放大器放大倍数; $a_1^{-1}$ 为燐閃光脉冲的衰落時間常数; $a_2^{-1}$ 为光电倍增管的倍增电子的飞行時間常数; $a_3^{-1}$ 为光电倍增管的阳极迴路的時間常数; $a_4^{-1}$ 为放大器的积分時間常数; $a_5^{-1}$ 为放大器的微分時間常数; $E_i$ 为积分指數函数。

在实际运用中給出上述单个脉冲的全部特性还是不够的。因为測量过程是一个由許多閃爍事件构成的随机过程,故还应考虑其特性。事实上,通过过程特性同样可以获得甄別效果。如果測量的時間間隔不太长,則在操作時間內,可以把它看作平稳的随机过程。于是問題就变成研究具有由(4)一(6)式所表示的传递函数的系統对平稳随机輸入 $y(t)$ 的反应:

$$y(t) = \sum_i S(t - iT - \epsilon_i). \quad (7)$$

其中 $S$ 表示单个閃爍事件; $T$ 为相繼两次閃爍事件間的平均時間間隔; $\epsilon_i$ 为間隔的涨落。 $\epsilon_i$ 的分布可由 $1/T$ 呈泊松分布来求得,由(7)式可以求出輸入的功率譜 $\Phi(\omega)$ 。

这样系統的輸出的功率譜 $g(\omega)$ 由系統的頻率特性 $F(i\omega)$ 求得。即

$$\begin{aligned} g(\omega) &= |F(i\omega)|^2 \Phi(\omega) \\ &= \left| \frac{1}{IRK_0} V(i\omega) \right|^2 \Phi(\omega). \end{aligned} \quad (8)$$

其中 $V(i\omega)$ 由(4),(5)式求得。

由(8)式可以求得放大器輸出的全部特性,其中包括每个脉冲的特性以及許多脉冲迭加的过程特性。同时还可以求出許多問題的答案,例如超出某一水平的机率,相关函数等等。

因此对于一定的目的，即給定了  $\Phi(\omega)$  及  $g(\omega)$ ，由(8)式来选择与設計合适的  $V(i\omega)$ ，并使之等于  $IRK\sqrt{g(\omega)/\Phi(\omega)}$ 。

$V(i\omega)$  中有許多参数是 ZnS(Ag) 的性能指标。因此对它的研究自然也应以(8)式作为指导和依据。这也是 ZnS(Ag)的电离辐射致发光与其它激发发光不同的地方。

### 三、对 ZnS(Ag) 的要求

上节所述表明，无论是否研究单个电压脉冲，或是整个测量过程，都与所列出的十七个参数有关。而其中  $A$ ,  $C_{Ip}$ ,  $T_p$ ,  $G$ ,  $f(v)$ ,  $hv$ ,  $a_1$  等则与 ZnS(Ag) 有关。可归结为 ZnS(Ag) 的六个特性。

**1. ZnS(Ag)的晶粒綫度  $d$**  它决定了参数  $A$ 。当入射的带电粒子（或次級带电粒子）的射程  $R \gg d$  时，则有

$$A \simeq \frac{d}{R}. \quad (9)$$

**2. ZnS(Ag)的折射率  $n$**   $n$  与  $d$  决定了光的吸收、反射、透射与折射<sup>[7]</sup>。故影响到閃爍体的透明度与几何光学因子。但它们之间的关系是非常复杂的。一般說來可将  $T_p G$  写成  $d, n$  的函数：

$$T_p G = f(d, n). \quad (10)$$

**3. ZnS(Ag)的发光亮度  $J$**  紫外光子、电子（包括  $\beta$  及  $\gamma$  辐射所引起的次級电子）、 $\alpha$  粒子、质子、輕核以及裂变碎片对 ZnS(Ag) 的激发机构很不相同。这四类激发具有四种发光的动力学过程，要詳加討論則超出本文的范围。无疑地对应于这四种激发的发光效率是不一样的。虽然其中的具体关系比較复杂，但有一点是可以相信的，即对于光致发光效率（亮度）高的晶粒，则其电离辐射致发光的效率即  $C_{Ip}$  也要大些。在我們目前所要求的精确度范围内用綫性近似来代表之，并假定

$$C_{Ip} \sim J. \quad (11)$$

**4. ZnS(Ag)的发射光譜組成** ZnS(Ag)的发射光譜呈高斯分布。据莫斯科文(Московин)<sup>[8]</sup>的意見，光致发光的光譜組成与电离辐射致发光的无显著差別。因此我們可以由汞灯激发来检查发射光譜，并用  $E(\lambda)$  代表光譜分布极大值处的波长， $D(\lambda)$  代表光譜分布的半寬度。对于閃爍計数來說，要求光譜分布与光电倍增管光阴极的光譜灵敏度吻合得最好。

**5. ZnS(Ag)的閃爍波形時間常数  $a_1^{-1}$**  在甄別測量中这是一个很重要的参数，根据它对应于不同的激发具有不同的数值这一特点，由(4)—(8)式可利用其它参数（如  $a_2$ ,  $a_3$ ,  $a_4$ ）的选择来使某些数值的  $a_1$  的  $V(t)$  很大，而另一些  $a_1$  的  $V(t)$  很小，从而达到甄別的目的。因此对 ZnS(Ag)來說，必須了解其关于  $a_1$  的性质。

**6. ZnS(Ag)的光致磷光余輝時間常数  $a_0^{-1}$**  这是因为在实际使用中，常因更換閃爍体（例如同一台仪器在测完快中子通量后还要测慢中子）而使閃爍体見光，由于 ZnS(Ag) 具有很长久的陷阱发光，故造成很大的光致发光本底。从而大大降低了甄別本領，甚至在一段時間內不能工作。所以这一性质必須加以研究，并設法降低和消除。

至此，对于 ZnS(Ag) 的研究目的和內容是明确了。即应針對上述六个特性解决下述三个問題：

(1) 找出一个合适的工艺过程，使上述六个特性达到一定的指标，并找出调节各特性指标的方法。

(2) 对上述六个特性建立一套測量与鉴定的方法。

(3) 由各种閃爍體的要求和特点确定上述六項性能的指标。

下面就这些問題作—初步的探討。

(4)—(6)式中的其它参数( $M, K, a_2, a_3, a_5, R$  等)均由电子线路来决定。一般說來是可調節的，能按不同的要求和 ZnS(Ag) 的性質来适当地选择，在很大的程度上选择是比較自由的。因此在提高效率和提高甄別率方面，具有較大的設計灵活性。由这些式子可以看出，可取之甄別方式很多，如用幅度甄別、用  $a_1$  甄別、用  $a_4$  甄別、用  $a_3$  甄別等等。因  $\beta, \gamma$  脉冲的寬度与  $\alpha$  粒子， $p$  的不同，用反符合可去掉  $\beta, \gamma$  的脉冲。又因  $\beta, \gamma$  脉冲狹可用  $a_3$  来将它短路掉，或用  $a_4$  来改狹通頻帶而起选頻甄別的作用。在(8)式中所包含的脉冲迭合过程，亦必須加以考慮。

#### 四、制备工艺与实验步骤

制备工艺中的各个参数与各項性能指标之間是复杂相关的。其基本原理近来已有較深入的研究<sup>[8]</sup>。参考这些結果，我們采取如下的实验步驟来确定工艺过程，和确定参数控制的方法。并希望能用最簡便的控制方法来得到对主要参数的明显控制。

**1. 材料** 分別由中国科学院物理研究所、华东电子管厂和我們用  $H_2S$  沉淀去除 Cu, Fe, Ni 等手續提純的 ZnS 粉末来进行烧結<sup>[9]</sup>。以光譜純的 NaCl 与  $AgNO_3$  作为助溶剂和激活剂。制备过程中的水是經离子交換树脂提純过的蒸餾水，其比電阻>2兆歐。提純的水置于密封的有机玻璃器皿中。

**2. 烧結** 用带有溫度自动調整的管状高温炉(見图 2)，烧結时充入高度干燥的 HCl 气体，并控制其压力不变。助溶剂为 5% NaCl。烧結时间为 30 分鐘。烧結后在石英管口(溫度为 300°C)自由冷却到室温。盛样品的透明石英管及其蓋管用王水及离子交換水反复处理。烧結时在 ZnS 粉末的表面复蓋一层上次烧好的 ZnS(Ag) 晶粒作保护之用。

**3. 实驗步驟** 在上述条件下选用烧結溫度为 1000°C；然后改变含銀量，并求出在发光亮度与光譜特性方面最佳的含銀量之后，再改变烧結溫度以获得合适的晶粒綫度。

烧結时气体压力的改变、气体性质的改变(如用  $H_2S$ ,  $HCl + H_2S$ ,  $N_2$  等)以及含銀量的改变对晶粒綫度以及发光的性質影响很大，因此必須严格固定各个参数。于固定的物理化学条件下采取上述步驟所得的晶粒，在两个主要性質即顆粒綫度与发光亮度方面是比较合适的。工艺过程也比较易于控制。而且实验結果証明，用烧結溫度来控制晶粒綫度是有效的。并且这比用气氛来控制要容易。

#### 五、測量方法及仪器

(1) 晶粒的形态是通过普通的生物显微鏡拍摄的。晶粒的綫度分布是用 MIM-8M 型臥式金相显微鏡測讀而得的，刻度的准确度取决于作为标尺的血球計算板，精密度为 1 微米，每条分布曲綫是随机取样 400 个晶粒，先在 MIM-8M 型金相显微鏡上觀察每顆晶粒的发光，如一批样品中每顆晶粒都发光，那么由毛玻璃片上的图象測量其在 X 軸上的投影。仪器的精密度还可以提高。并且可以测出晶粒的投影面积。

(2) 根据(11)式，光发射的发光亮度和光譜特性是用稳定的汞灯激发，以 Leutwein FD 型

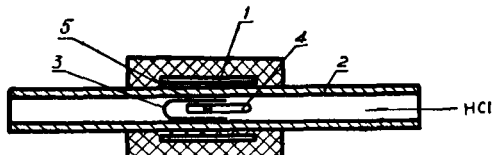


图 2 烧結高温炉

1—硅碳棒；2—石英管；3—透明石英管；4—透明石英管裝以燒結样品；5—复蓋物 ZnS 結晶。

35厘米/3000—7500 Å 摄譜仪与 Alfa 全色底片摄得，并由 Hilger & Watts 测微光度計測得。摄譜时间为 20 分钟，在激发后 1 分钟启开摄譜仪的狭縫。这样所测得的不完全是定态发光，而是具有一部分上升曲綫段的发光。摄得的黑度反映了上升曲綫到定态下的面积，即光和。在这段时间内，入射光子的一部分使被激电子入陷，而不参与发光。由于陷阱在电离辐射发光时同样起作用，并且在计数不特别大时或連續测量不很久的情况下，陷阱总是起作用的，因此(11)式中的  $J$  应当包括陷阱对发光的削弱这一因素更为恰当些。所以我們不用定态的发光亮度来代表  $C_{Ip}$ 。

(3) 閃爍波形(参数  $a_1$ )的测量方法是根据(4), (5)式所描述的原理来确定的。仪器的方块图見图 1。由于要从示波器上显示出来的  $V(t)$  图形来求出  $a_1$ ，因此对于其它各时间参数应选择得对  $V(t)$  的影响很小，較之  $a_1$  可以略而不計。为此系統应满足关系

$$\left. \begin{array}{l} a_2, a_4 \gg a_1, \\ a_5 \ll a_1, \\ a_3 \approx a_1, \\ M, K_0 \text{ 等应为常数即放大应具有綫性。} \end{array} \right\} \quad (12)$$

这样(4)式可簡化为

$$V(t) = \frac{IRK_0a_3}{a_1 - a_3} (e^{-a_1 t} - e^{-a_3 t}). \quad (13)$$

(5)式可簡化为

$$V(t) = -IRK_0a_3e^{-a_3 t} \int_0^t \frac{e^{a_3 t}}{1 + a_1 t} dt. \quad (14)$$

为此选用 ФЭУ-29 型光电倍增管(或用調节后的 ФЭУ-19M)，并取  $a_3^{-1} = 10$  微秒， $a_4^{-1} = 40$  毫微秒， $a_5^{-1} > 150$  微秒。用 OBF 示波器拍摄  $V(t)$ ，它具有 3 赫—10 兆赫的通頻帶，有触发

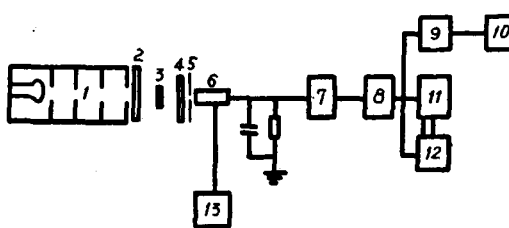


图 3 磷光測試装置

1—鎢絲灯；2—滤色片(通过紫外)；3—ZnS(Ag)；4—滤色片(通过蓝光)；5—光闌；6—ФЭУ；7—跟随器；8—放大器；9—计数率仪；10—自动记录；11—ПС-10000；12—ПС-10000；13—高压。扫描和抽样扫描，可以观察单个脉冲和同时观察许多脉冲。  
 (4) 光致磷光衰落的測試裝置如图 3 所示，測量是根据(8)式所描述的原理来进行的。因为磷光衰落得很慢，故可以把整个衰落过程用(7)式表示之。其中  $T$  按磷光衰落規律漸漸变大。而在每次測量過程中(如为 10 秒)可以把  $T$  看作常数。因而在这段时间內是平稳随机過程。(4)或(5)式中的  $a_1^{-1}$  則对应于一个光子跃迁的时间，即相当于偶极矩或四极矩的跃迁時間，約  $10^{-9}$  秒。整个系統通过光电效应对应于若干个光子給出一个  $V(t)$ ，由定标器記下。由于我們要得到由(7)式表示的真实情况，故希望  $|F(i\omega)| = 1$ 。于是，这样測得的  $g(\omega) = \Phi(\omega)$  就真实地反应了磷光光子的行为。为此选 ФЭУ-33 型光电倍增管作为脉冲計数的运用方式。这是因为它有較短的飞行时间。根据戈尔巴恰夫(Горбачев)的工作<sup>[10]</sup>，飞行时间与高压  $U$  有关，并可写成

$$a_2 = \pi(a\sqrt{U} - b). \quad (15)$$

这样，当增加  $U$  时  $a_2^{-1}$  会減小，但同时会增加噪音，所以应选择一个合适的  $U$  值。一般能使  $a_2^{-1}$  不超过 10 毫微秒。光电倍增管阳极迴路的时间常数  $a_5^{-1}$  选为 200 毫微秒。放大器的  $a_4^{-1}$  选为 40 毫微秒， $a_3^{-1}$  选为 15 微秒，并考慮到不过載性。ПС-10000 的分辨率为 1 微秒，ИСС 计数

率仪前置一定标单元則亦能达到 1 微秒的分辨率。应将放大器的放大倍数与定标器的灵敏度匹配好，使噪音本底每秒鐘为 0.5 个脉冲左右。这些被記下的噪音仅来自光阴极的热电子发射。調節光闌使計數率不超过  $10^6$  次/秒。两台 ПС-10000 并联运用，自动反复时间为 10 秒。这样，同时由計數率仪記下衰落曲綫，由 ПС-10000 記下光和。因

$$a_1 \gg a_2 \gg a_4 \gg a_3 \gg a_5, \quad (16)$$

故

$$V(t) = K_0 R I \frac{a_3}{p + a_3} = K_0 R I e^{-a_3 t}. \quad (17)$$

如样品极薄，则  $T_p G \approx 1$ ,  $C_p E = S(\lambda)$ , 于是有

$$I = S(\lambda) M \varepsilon p. \quad (18)$$

其中  $S(\lambda)$  为光电量子效率，对于 ФЭУ-33 为 15%。故每个記下的脉冲相当于 10 个光子左右，系統灵敏度約 5 个光子/秒左右，量程上限为  $10^7$  个光子/秒。系統精确度由  $F(i\omega)$  决定：

$$F(i\omega) = \frac{a_3}{i\omega + a_3}. \quad (19)$$

当  $a_3$  小，而計數率大（即  $T$  小）因而  $\omega$  大时，誤差也大；当  $a_3$  很大，計數率較低时， $F(i\omega) \approx 1$ ，于是有  $g(\omega) \approx \Phi(\omega)$ 。根据光电倍增管及系統的疲倦效应的数据，系統在預热 2 小时后的 8 小时內稳定性良好。

(5) 利用 МИМ-8М 型金相显微鏡与上述諸系統可以研究单个晶粒的情况，其灵敏度亦可达几十个光子，这决定于記下的光阴极热电子噪音。

(6)  $T_p G$  主要决定于閃爍體的結構，ZnS(Ag)本身的影响比起其它的因素來說是次要的。这一点在下面发光上升曲綫与磷光衰落曲綫的光和比較上也可看出。

## 六、結果及討論

图 4 表示出現的四种晶形：立方形、六方形、針状晶粒和发育不完善的晶粒。針状晶粒的出現与含 Cu 有关<sup>[11]</sup>，这是由发射譜估計的。不完善的晶粒与燒結条件有关，并与材料純度有关，其发光亮度亦較差。图 5 表示含 Ag 量与发光亮度的关系，并与契連涅夫(A.A. Черенев)<sup>[12]</sup>的結果作了比較。对于上述条件，含 Ag 量为  $5 \times 10^{-5}$  最好。图 6 表示含銀量与光譜的关系，并与里佛伦茲(H. W. Leverenz)<sup>[13]</sup>、莫斯克文<sup>[8]</sup>和契連涅夫<sup>[12]</sup>等的結果以及 K-11, K-430 作了比較。随着含 Ag 量的增加，光譜极大值向短波处偏移。根据这些結果我們选择含 Ag 量为  $5 \times 10^{-5}$ ，并固定上述条件，然后改变燒結温度。图 7 表示在不同的燒結温度下六方晶粒的百分比，虛線是純 ZnS 的情形<sup>[14]</sup>。图 8 表示晶粒綫度分布与燒結温度的关系，用  $\chi^2$  檢驗法可以看出近似于泊松分布。图 9 为其分布极大值与半寬度和温度的关系，两者均随温度的升高而增加。图 10 表示燒結温度与发光亮度以及发射光譜之間的关系，并与契連涅夫的結果作了比較。当燒結温度升高时，发射光譜向短波推移。由底片的黑度測得上升曲綫下的面积随温度

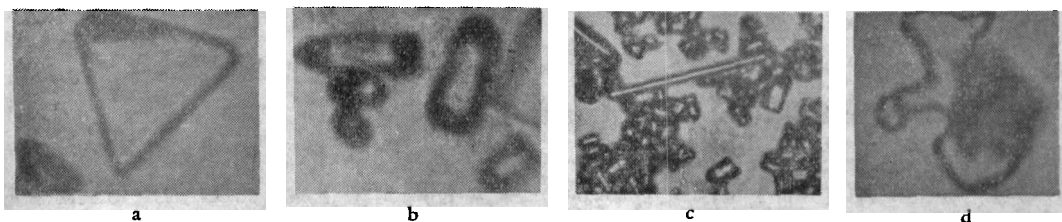


图 4 四种晶形  
a——立方晶粒； b——六方晶粒； c——針状晶粒； d——不正常晶粒。

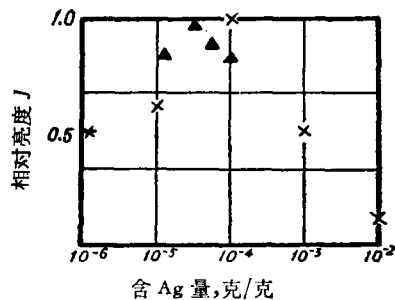


图 5 含 Ag 量与相对亮度之间的关系  
 ×——契連涅夫的数据, 800°C;  
 ▲——我們的数据, 1000°C.

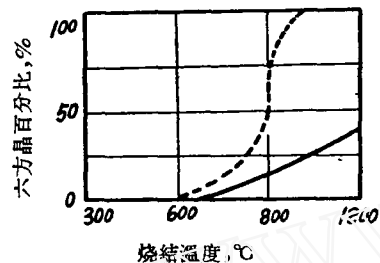


图 7 六方晶比例与烧结温度的关系

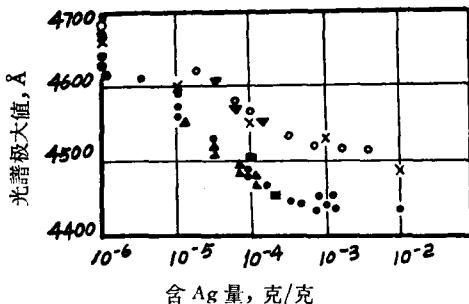


图 6 含 Ag 量与光谱极大值之关系  
 ○——里佛伦茲的数据;  
 ●——莫斯克文的数据, 950°C;  
 ■——国产 K-11, K-430, 950°C;  
 ▲——我們的数据, 1000°C;  
 ▽——我們的数据, 800°C;  
 ×——契連涅夫的数据, 800°C.

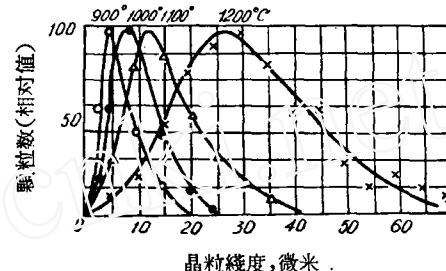


图 8 烧结温度与晶粒分布的关系

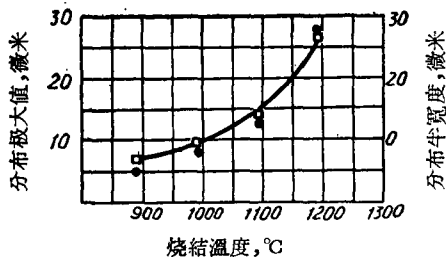


图 9 烧结温度与分布参数的关系  
 □——分布半宽度;  
 ●——分布极大值.

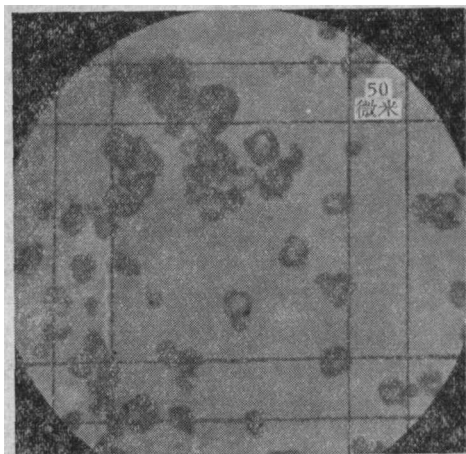


图 10 1150°C 烧結的晶粒, 小方格一边为 50 微米

升高而降低，即陷阱面积(Deficiency areas)随烧结温度而增大(亦即陷阱增多)。于是應該出現这样的現象，即高温烧结的样品的磷光光和要大。另一个降低高温烧结样品的发光亮度的因素是其吸收系数的降低<sup>[7]</sup>。但从磷光光和的結果看來，这比前者次要。图 12 給出了 800°C 与 1200°C 烧结样品的发射光譜。图 13 为 1000°C 烧结样品的光譜照片。图 14 为磷光衰落曲綫，是以 60 瓦鎢絲灯、距样品 10 厘米激发 1 分鐘后进行測量得到的。图中只画出了三个数量級的数据。衰落曲綫不完全是双曲形。不同的烧結温度衰落曲綫的斜率稍有不同。可以看出，

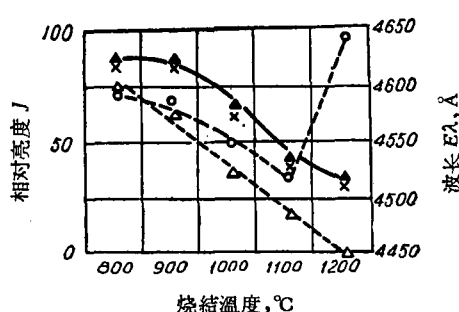


图 11 烧结温度与亮度和光谱极大值之关系  
 ○——契連涅夫的数据(光譜極大值);  
 △——我們的数据(光譜極大值);  
 ✕——契連涅夫的数据(亮度);  
 ▲——我們的数据(亮度).

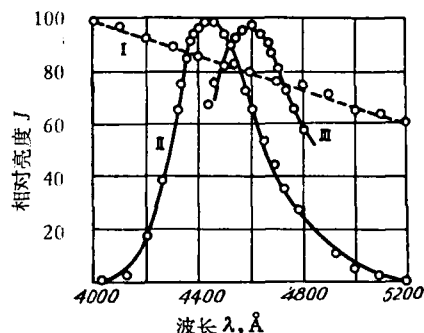


图 12 发射光譜.  
 I——Sb-Cs阴极光譜特性;  
 II——1200°C烧結的样品;  
 III——800°C烧結的样品.



图 13 发射光譜(Fe 的火花譜, 1000 °C)

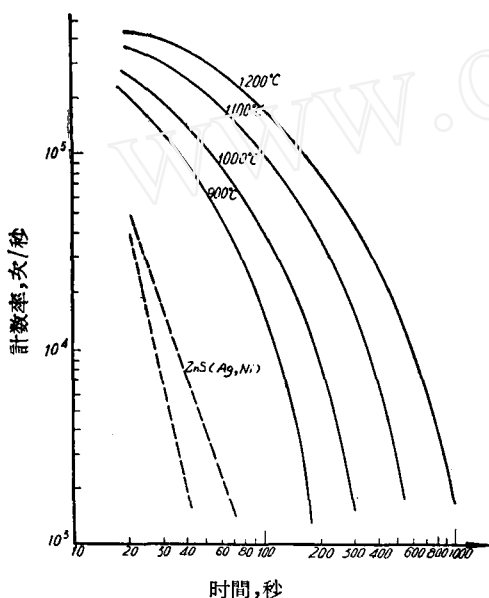


图 14 不同烧结温度下的磷光衰落曲线

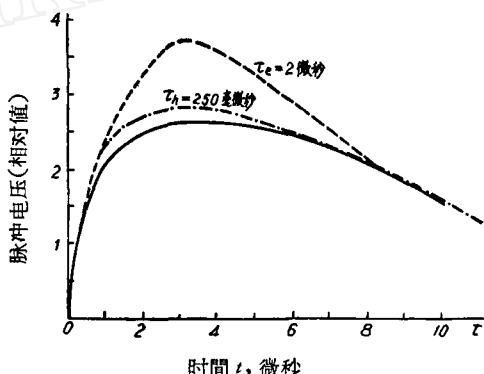


图 15 双曲線衰落的波形  
 ——实验值;  
 - - - 指数理論值;  
 - · - - 双曲線理論值.

高温烧结的磷光光强要大得多, 与摄谱的结果一致。图 15 为用 $\alpha$ 粒子激发时所得的波形。样品厚为 10 毫克/厘米<sup>2</sup>, 烧结温度为 1000°C。虚线为按(13)式算得, 取  $\tau_e = \alpha_t^{-1} = 2$  微秒, 点线按(14)式算得, 取  $\tau_h = \alpha_t^{-2} = 250$  毫微秒。实线为观察到的波形。图 16 为在同样情况下观察到的另一个脉冲波形, 虚线由(14)式算得, 点线由(13)式算得取  $\tau_e = \alpha_t^{-1} = 7.5$  微秒。由此可知, 既具有  $\tau_h$  等于几百毫微秒的双曲式衰落, 也有  $\tau_e$  等于几个微秒的指数形衰落。对于 $\beta$ 、 $\gamma$  辐射激发, 其衰落时间常数  $< 35$  毫微秒。因为在上升时间为 35 毫微秒的示波器上只显示出示波器本身的上升。这些结果与其它作者的结果比较接近<sup>[1]</sup>。图 17 为触发扫描下所观察到的 $\alpha$ 脉冲的波形, 其极大值从 2 微秒起到 9 微秒。可见衰落的时间常数亦有各种不同的

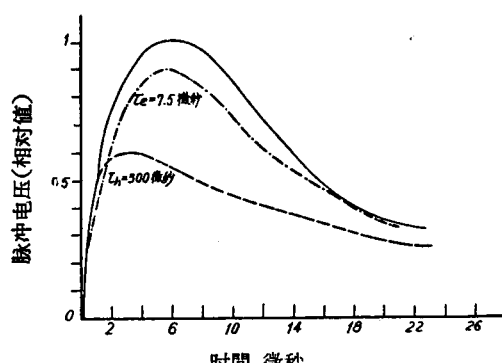
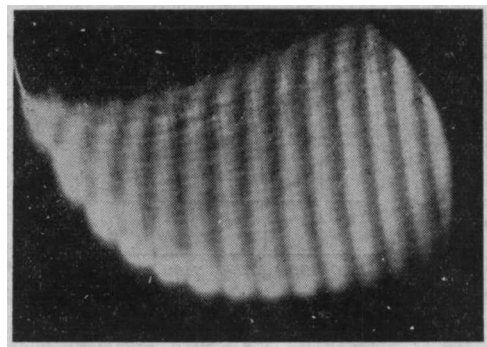


图 16 指数形衰落的波形

图 17  $\alpha$  激发时出现的具有各种时间常数的波形。图中一点为一微秒。

值。各种烧结温度的样品在这一点上无显著差别。

由上述结果得出如下结论，在固定的物理化学条件下，各项参数与烧结温度之间的关系可用如下几个经验公式表之：

$$\lg d = 2.12(T - 580) \times 10^{-3}, \quad (20)$$

$$\lg(1 - J) = 2.4(T - 1300) \times 10^{-3}, \quad (21)$$

$$\frac{\partial E\lambda}{\partial T} = -0.4 \text{ Å}/\text{°C}, \quad (22)$$

$$\frac{\partial S(\lambda)}{\partial E\lambda} = -3.3 \times 10^{-4} \text{ Å}^{-1}, \quad (23)$$

其中  $T$  为烧结温度； $d$  为最灵敏度， $J$  为相对亮度百分比； $E\lambda$  为发射光谱平均波长； $S(\lambda)$  为光电倍增管光阴极的量子效率。由(4)–(6)式可得  $V(t)$  的幅度  $V$  为

$$V \sim I \sim AT_p G C_{lp} C_{pe} \frac{f(\nu)}{h\nu} \sim df(d, n) JS(\lambda), \quad (24)$$

$$\frac{\delta V}{V \delta T} = \frac{1}{d} \frac{\partial d}{\partial T} + \frac{1}{f} \frac{\partial f}{\partial T} + \frac{1}{J} \frac{\partial J}{\partial T} + \frac{1}{S} \frac{\partial S}{\partial T} > 0. \quad (25)$$

其中  $\frac{\partial S}{\partial T}$  和  $\frac{\partial f}{\partial T} \ll \frac{\partial d}{\partial T}$  和  $\frac{\partial J}{\partial T}$ ，故起主要作用的是  $d$  与  $J$ 。由(20)–(23)可知

$$\frac{\partial S}{\partial T} = 8.7 \times 10^{-4}, \quad \frac{\partial d}{\partial T} = 2.12 \times 10^{-3}, \quad \frac{\partial J}{\partial T} = -2.4 \left[ \frac{1}{J} - 1 \right] \times 10^{-3}.$$

故

$$\frac{\partial d}{\partial T} > \frac{\partial J}{\partial T} > \frac{\partial S}{\partial T}. \quad (26)$$

由此可知，由烧结温度来控制灵敏度以提高脉冲幅度，在  $R \gg d$  的情况下是有效的。

对于 Hornyk 型中子闪烁体来说，由于它比较厚，故对  $\gamma$  辐射的灵敏度较高。而且 ZnS(Ag) 颗粒是悬浮在含氩介质内的。每次闪烁的光脉冲经过多次散射与吸收，然后才能到光电倍增管光阴极上，故光损失较大。若要提高甄别率，也就希望硫化锌对于反冲质子有最大的光输出，则应选用较大的颗粒，即要求用较高的温度来烧结。至于选用多大的颗粒则与入射中子的能量有关。一般对于几兆电子伏的中子来说，颗粒的平均线度不宜小于 25 微米，这是由反冲质子的平均射程来估计的。故烧结温度选在 1150°C 以上。

对于  $\alpha$  闪烁体，由于其射程短，源与闪烁体之间的空气、遮光薄膜以及源自身的吸收均很显著。几兆电子伏的  $\alpha$  粒子在 ZnS(Ag) 中的射程，实际上只有几微米到十几微米。从  $T_p G$  来考虑，闪烁体必须做得很薄，这样对  $\gamma$  的灵敏度也就降低了。故不一定要求输出很大的  $V$  即能

很好地起甄别作用, 所要求的是提高效率。由罗西-斯塔布(Rossi-Staub)公式, 计数效率  $m$  为

$$m = \frac{1}{2} \left\{ 1 - \frac{t}{2(R - \rho)} \right\}, \quad (27)$$

其中  $t$  为吸收厚度;  $R$  为  $\alpha$  粒子的射程;  $\rho$  为引起计数的最小射程;  $\rho$  与线度有关, 并且是线度  $d$  的上升函数。故必须选择较小的颗粒, 并把闪烁体做得很薄。实验表明, 采用 800°C 烧结的 ZnS(Ag) 效果很好。

在 ZnS(Ag) 中含有少量的 Ni( $10^{-6}$ ), 则可以使光致磷光降低, 衰落时间也要短得多, 见图 14 中的虚线。

本工作完成于 1960 年。冯南屏、傅学先同志作了提纯工作并参与烧结工作。作者对李德平先生、崔新德同志、张惠民和钱永顺工程师的指教以及西南师范学院的协助深表谢意。并感谢郑林生先生的热心关怀。

### 参 考 文 献

- [1] T. Asada, et al., *J. Phys. Soc. Japan*, **14**, No. 2, 1766 (1959); G. M. Baily, *Austral J. Phys.*, **11**, No. 1, 135 (1958); D. Smidt, *Ann. Physik*, **6**, 325 (1955); P. G. Kootz, et al., *RSI*, **26**, 352 (1955); W. S. Emmerich, *RSI*, **25**, 69 (1954); W. F. Hornyak, *RSI*, **23**, 246 (1952).
- [2] Asada, et al., *J. Phys. Soc. Japan*, **13**, No. 1, 1 (1958); J. Halpern, et al., *Phys. Rev.*, **103**, 1755 (1956).
- [3] W. G. Spear, H. W. —60404, Sep. 1959; *Nuclear Engineering*, **16**, No. 6 (1961). 或原子能译丛, No. 5 (1962); Справочник по дозиметрическим радиометрическим и электронно-физическим приборам, счетчикам, сцинтиляторам и фотомультиплерам, 1959; В. О. Вяземский и др., Сцинтилляционный метод в радиометрии, р. 356, 1961.
- [4] H. Zoborowski, *Bull. inform. scient. et techn. Commissar énergie atom*, No. 4, 13 (1960).
- [5] W. Whaling, *Nuclear Science Series Report*, No. 9.
- [6] T. Tanasescu, Proc. of the 7th Scintillation Counter Symposium, 1960, 39.
- [7] B. B. Афонинов-Романовский, *ЖЭТФ*, **26**, 26 (1954).
- [8] Luminescence, Symposium at Cavendish Laboratory, 1954; A. B. Москвин, Катодолюминесценция, 1949.
- [9] 中国科学院物理研究所, 硫化锌发光材料的制备, 1959.
- [10] B. M. Горбачев и др., *ИITЭ*, **1**, 69 (1960).
- [11] H. Ortmann, et al., *Z. Naturforschung*, **16a**, 903 (1961).
- [12] A. A. Черенев, *Изв. А. Н. СССР, Сер. Физ.*, **XXIII**, вып. 11, 1335 (1959).
- [13] H. W. Leverenz, et al., *Journ. Appl. Phys.*, **10**, 479 (1939).
- [14] H. Gobrecht, et al., *Z. Naturforschung*, **16a**, 857 (1961).

(编辑部收稿日期 1963 年 6 月 21 日)